

УДК 538.245

©1995

ВЛИЯНИЕ КОНСТАНТЫ  $K_2$  НА ОДНОРОДНОЕ  
СОСТОЯНИЕ ВЕКТОРА НАМАГНИЧЕННОСТИ  
В КУБИЧЕСКОМ МАГНЕТИКЕ ( $K_1 < 0$ )  
С КОМБИНИРОВАННОЙ НАВЕДЕНОЙ  
АНИЗОТРОПИЕЙ

И.В.Владимиров, Р.А.Дорошенко

Отдел физики Уфимского научного центра Российской академии наук,  
450065, Уфа, Россия

(Поступила в Редакцию 4 апреля 1994 г.)

Рассмотрена роль константы  $K_2$  в спин-переориентационных фазовых переходах, обусловленных наличием в кубическом кристалле комбинированной наведенной анизотропии. Полученные фазовые диаграммы продемонстрировали роль константы  $K_2$  в многообразии спин-переориентационных фазовых переходов, обусловленных наличием в кубическом кристалле комбинированной наведенной анизотропии. Показано, что при небольших значениях параметра  $q = K_2/|K_1|$  уменьшаются (по сравнению с  $q = 0$ ) области устойчивости угловых фаз типа  $\Phi_{(111)}^<$  и увеличивается область устойчивости фазы  $\Phi_{[1\bar{1}0]}$ . При  $q = 2$  появляются новые угловые фазы типа  $\Phi_{(110)}^<$ , которые при некоторых значениях  $\gamma_1$  и  $\gamma_2$  соответствуют наименьшему значению энергии анизотропии.

Исследование спин-переориентационных фазовых переходов (СПФП) в пластинках и пленках ферритов-гранатов выявило существенную роль наведенной магнитной анизотропии. При этом наведенная анизотропия в ряде случаев может быть представлена как комбинация двух одноосных составляющих [1,2]. Ранее были рассмотрены СПФП в кубических кристаллах с комбинированной наведенной анизотропией (КНА), состоящей из двух одноосных компонент [3,4]. Наряду с параметрами КНА на ориентацию вектора намагниченности существенное влияние оказывают величины констант кубической анизотропии  $K_1$  и  $K_2$ . При этом наиболее интересной, на наш взгляд, областью фазовых диаграмм является область, где константы  $K_1$  и  $K_2$  имеют разный знак, т.е. существует конкуренция кубических констант.

Исследование СПФП в кубических кристаллах с КНА при наличии конкуренции кубических констант сильно затруднено прежде всего множеством низкосимметричных ориентационных фаз, а также из-за большого количества изменяемых параметров. Решение данной задачи возможно только с использованием численных расчетов.

В настоящей работе мы рассмотрели влияние второй константы кубической анизотропии  $K_2$  на характер СПФП в кристаллах ( $K_1 < 0$ ) с КНА. КНА представляла комбинацию двух одноосных анизотропий с осями симметрии, совпадающими с кристаллографическими направлениями типа {111}.

Плотность энергии анизотропии кубического кристалла с КНА в сферической системе координат, полярная ось которой совпадает с [001], а азимутальный угол  $\varphi$  откладывается от [100], имеет вид

$$e_c = -\sin^2 \theta \left[ (1/4) \sin^2 \theta \sin^2 2\varphi + \cos^2 \theta \right] + (1/4)q \sin^4 \theta \cos^2 \theta \sin^2 2\varphi + e_{\text{CIA}},$$

$e_{\text{CIA}} = -(1/3) \sin^2 \theta \sin 2\varphi (\gamma_1 + \gamma_2) - (\sqrt{2}/3) \sin 2\theta \sin(\varphi + \pi/4)(\gamma_1 - \gamma_2)$ , где  $\theta, \varphi$  — полярный и азимутальный углы,  $e_{\text{CIA}}$  — плотность энергии КНА,  $\gamma_1 = K_{u1}/|K_1|$ ,  $\gamma_2 = K_{u2}/|K_1|$ ,  $q = K_2/|K_1|$ ,  $K_1, K_2$  — первая и вторая константы кубической анизотропии,  $K_{u1}, K_{u2}$  — константы составляющих КНА с осями симметрии вдоль векторов  $n_1 \parallel [111]$  и  $n_2 \parallel [1\bar{1}\bar{1}]$  соответственно.

Спектр однородных состояний вектора  $M$  находится из условия минимума энергии анизотропии. Фазовые диаграммы в плоскости ( $\gamma_1 = K_{u1}/|K_1|$ ,  $\gamma_2 = K_{u2}/|K_1|$ ) были получены для следующих значений параметра  $q = K_2/|K_1|$ : 0, 1 и 2.

а)  $q = 0$ . Минимизация  $e_C$  дает следующие равновесные направления намагниченности  $M$ :

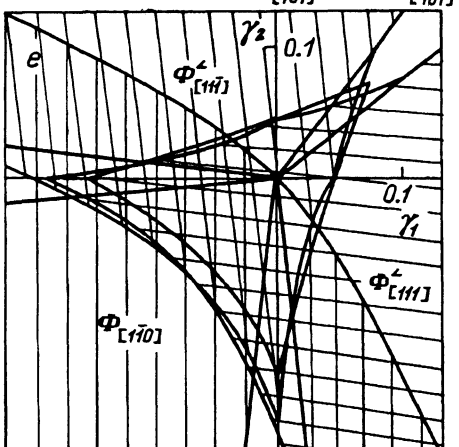
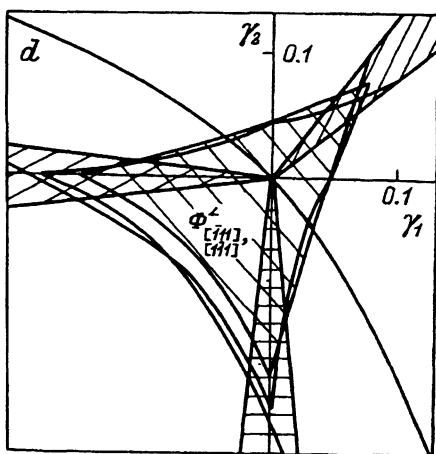
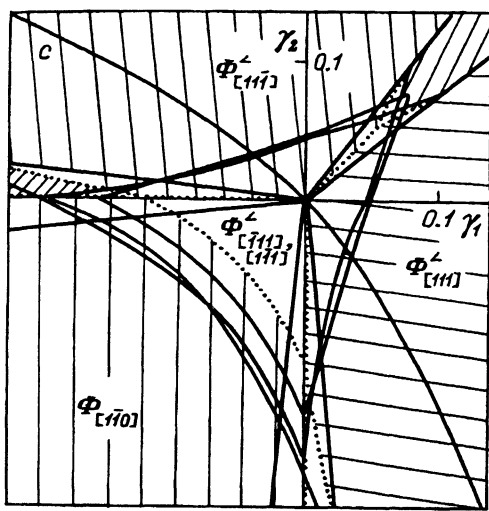
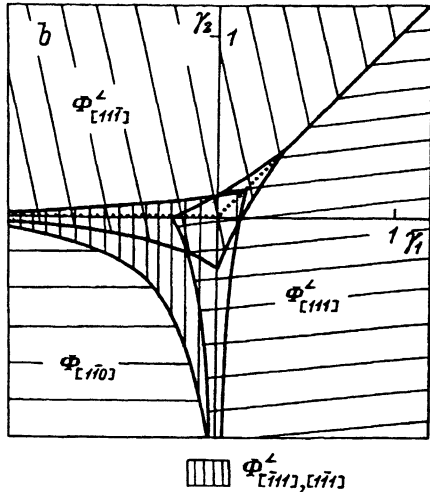
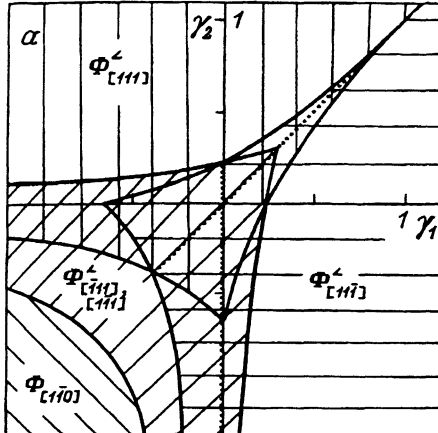
$$\theta = \pi/2, \quad \varphi = -\pi/4, \quad (1)$$

$$\sin 2\theta \left[ (1/4) + (3/4) \cos \theta + (1/3)(\gamma_1 + \gamma_2) \right] + 2(\sqrt{2}/3) \cos 2\theta (\gamma_1 - \gamma_2) = 0,$$

$$\varphi = \pi/4, \quad (2)$$

$$\begin{aligned} & -\sin 2\theta \left[ (1/2) \sin^2 \theta \sin^2 2\varphi + \cos 2\theta + (1/3)(\gamma_1 + \gamma_2) \sin 2\varphi \right] + \\ & + 2(\sqrt{2}/3) \cos 2\theta \sin(\varphi + \pi/4)(\gamma_2 - \gamma_1) = 0, \\ & -(1/2) \sin 4\theta \sin 4\varphi + (\sqrt{2}/3) \sin 2\theta \cos(\varphi + \pi/4)(\gamma_2 - \gamma_1) - \\ & - (2/3)(\gamma_1 + \gamma_2) \sin^2 \theta \cos 2\varphi = 0. \end{aligned} \quad (3)$$

Условия (1) соответствуют фазе  $\Phi_{[1\bar{1}0]}$ , в которой намагниченность лежит вдоль оси [1\bar{1}0], условия (2) — фазам  $\Phi_{[111]}^L, \Phi_{[1\bar{1}\bar{1}]}^L$ , где  $M$  направлен вдоль искаженных осей [111] и [1\bar{1}\bar{1}] соответственно, а (3) — энергетически эквивалентным фазам  $\Phi_{[\bar{1}11]}^L$  и  $\Phi_{[\bar{1}\bar{1}1]}^L$ , в которых  $M$  лежит вдоль искаженных кубических осей [\bar{1}11] и [1\bar{1}1]. Области устойчивости фаз  $\Phi_{[111]}^L, \Phi_{[1\bar{1}\bar{1}]}^L, \Phi_{[\bar{1}11]}^L, \Phi_{[\bar{1}\bar{1}1]}^L$  перекрываются (см. рисунок, а), т.е. имеют место СПФП первого рода. СПФП первого рода между фазами  $\Phi_{[111]}^L$  и  $\Phi_{[1\bar{1}\bar{1}]}^L$  происходит вдоль прямой  $\gamma_1 - \gamma_2 = 0$ , между фазами  $\Phi_{[111]}^L$  и  $\Phi_{[\bar{1}11]}^L, \Phi_{[\bar{1}\bar{1}1]}^L$  — вдоль прямой  $\gamma_2 = 0$ , между фазами  $\Phi_{[1\bar{1}\bar{1}]}^L$  и  $\Phi_{[\bar{1}11]}^L$  — вдоль прямой  $\gamma_1 = 0$ . Анализ показывает, что линии потери устойчивости фаз  $\Phi_{[111]}^L$  и  $\Phi_{[\bar{1}11]}^L$  и прямая фазового равновесия  $\gamma_1 - \gamma_2 = 0$  пересекаются в одной точке, после чего на линии  $\gamma_1 - \gamma_2 = 0$  имеет место фазовый переход второго рода. Точка (3/4, 3/4) является критической точкой фазовых переходов первого и второго рода. СПФП



Ориентационная фазовая диаграмма кубического магнетика с КНА.

Оси симметрии составляющих КНА параллельны  $\pi_1 \parallel [111]$ ,  $\pi_2 \parallel [11\bar{1}]$ .  $q$ : *a* — 0, *b* — 1, *c-e* — 2. Сплошными кривыми показаны границы областей устойчивости фаз, точками — линии фазового равновесия. *c* — области метастабильного состояния фаз не штрихуются. *d* — заштрихованы фазы  $\Phi_{[111], [11\bar{1}]}^L$ ,  $\Phi_{[110]}^L$ ,  $\Phi_{[101], [011]}^L$ ,  $\Phi_{[011], [101]}^U$ , *e* — заштрихованы фазы  $\Phi_{[111]}^L$ ,  $\Phi_{[11\bar{1}]}^L$ ,  $\Phi_{[1\bar{1}\bar{1}]}^L$ .

между фазами  $\Phi_{[1\bar{1}1], [1\bar{1}1]}^<$  и  $\Phi_{[1\bar{1}0]}^<$  является переходом второго рода и происходит на кривой  $\gamma_1 \gamma_2 = 9/16$ . Отметит, что в областях  $\gamma_1 > 0$  и  $\gamma_2 > 0$  фаза  $\Phi_{[1\bar{1}1], [1\bar{1}1]}^<$  является метастабильной.

b)  $q = 1$ . Характер СПФП при этом значении параметра  $q$  не меняется. Области устойчивости угловых фаз, в которых вектор намагниченности ориентируется вдоль искаженных направлений типа  $\langle 111 \rangle$ , уменьшаются (см. рисунок, b). При этом критической точкой СПФП первого и второго рода становится точка  $(3/8, 3/8)$ . СПФП второго рода между  $\Phi_{[1\bar{1}0]}^<$  и  $\Phi_{[1\bar{1}1], [1\bar{1}1]}^<$  происходит вдоль кривой  $(32/9)\gamma_1 \gamma_2 - (2/3)(\gamma_1 + \gamma_2) - 1 = 0$ .

c)  $q = 2$ . Появление новых ориентационных фаз, в которых вектор намагниченности направлен вдоль искаженных направлений типа  $\langle 110 \rangle$ , существенным образом усложняет фазовую диаграмму. Поэтому разделим фазовую диаграмму на три части (см. рисунок, c-e). На всех рисунках сплошными линиями показаны границы областей устойчивости фаз, а точками обозначены линии фазового равновесия. На рисунке, с заштрихованы только те участки областей устойчивости фаз, в которых энергия анизотропии принимает наименьшее значение, т.е. области метастабильного состояния фаз не штрихуются. Из рисунка видно, что возможно существование семи фаз, из которых четыре — двукратно вырожденные ( $\Phi_{[111]}^<, \Phi_{[1\bar{1}\bar{1}]}^<, \Phi_{[110]}^<, \Phi_{[1\bar{1}0]}^<$ ), три — четырехкратно вырожденные фазы ( $\Phi_{[111], [1\bar{1}\bar{1}]}^<, \Phi_{[101], [011]}^<, \Phi_{[01\bar{1}], [10\bar{1}]}^<$ ). СПФП между фазами являются переходами первого рода, за исключением переходов между  $\Phi_{[111]}^<$  и  $\Phi_{[110]}^<$ ,  $\Phi_{[1\bar{1}\bar{1}]}^<$  и  $\Phi_{[110]}^<$ ,  $\Phi_{[111]}^<$  и  $\Phi_{[101], [011]}^<$ ,  $\Phi_{[1\bar{1}\bar{1}]}^<$  и  $\Phi_{[101], [01\bar{1}]}^<$ , которые до некоторых значений переменных  $\gamma_1$  и  $\gamma_2$  являются переходами первого рода, а выше — СПФП второго рода. Соответственно критические точки переходов первого и второго рода имеют следующие координаты:  $(0.085, 0.110)$ ,  $(0.110, 0.085)$ ,  $(0.05, -0.33)$ ,  $(-0.33, 0.05)$ . На рисунке, d,e показаны области устойчивости фаз.

Представленные выше фазовые диаграммы продемонстрировали роль константы  $K_2$  в многообразии СПФП, обусловленных наличием в кубическом кристалле КНА. Показано, что при небольших значениях параметра  $q = K_2/|K_1|$  уменьшаются (по сравнению с  $q = 0$ ) области устойчивости угловых фаз типа  $\Phi_{[111]}^<$  и увеличивается область устойчивости фазы  $\Phi_{[1\bar{1}0]}^<$  (см. рисунок, b). При  $q = 2$  появляются новые угловые фазы типа  $\Phi_{(110)}^<$ . Отметим также, что в кубическом кристалле при  $q = 2$  фазы с осями легкого намагничивания  $\langle 110 \rangle$  являются метастабильными. В нашем случае КНА приводит к тому, что при некоторых значениях  $\gamma_1$  и  $\gamma_2$  ориентация вектора намагниченности вдоль искаженной оси  $\langle 110 \rangle$  соответствует наименьшему значению энергии анизотропии.

### Список литературы

- [1] Веселаго В.Г., Владимиров И.В., Дорошенко Р.А., Сетченков М.С. Препринт ИОФАН СССР № 56 (1987). 61 с.
- [2] Гуменюк-Сычевская Ж.В., Коваленко В.Ф., Чеховой А.Ю. УФЖ 33, 4, 609 (1988).
- [3] Владимиров И.В., Дорошенко Р.А. ФТТ 33, 11, 3402 (1991).
- [4] Владимиров И.В., Дорошенко Р.А. ФММ 75, 3, 19 (1993).